

RAPD 分析在绢丝昆虫亲缘关系研究中的应用

I. 蓖麻蚕品种间的遗传差异

左正宏¹, 桂慕燕², 王学民², 陈元霖²

(1. 湖南省岳阳卫生学校, 岳阳 414000 2. 福建省厦门大学生物系, 厦门 361005)

摘要 用 RAPD 技术对蓖麻蚕基因组 DNA 进行多态性研究, 分析了 5 个蓖麻蚕品种间的遗传差异。结果表明, 所采用的 40 个随机引物中, 有 27 个引物扩增谱带清晰且重复性较好, 扩增总片段数达 243 个, 单个引物的扩增片段数在 4~17 之间, 平均为 9 条, 片段大小在 0.33~3.0kb 之间。不同蓖麻蚕品种间的遗传距离(D)在 0.0683~0.1603 之间。根据 D 值, 由 UPGMA 聚类分析软件绘制了它们的聚类分子树。

关键词 蓖麻蚕 RAPD 品种差异

中图分类号 Q963 文献标识码 A 文章编号 10253-977X(2001)02-0128-03

Application of RAPD Technique in Genetic Relationship Study of Silk Insect

I. Genetic Variance in Eri Silkworm

ZUO Zheng-hong¹, GUI Mu-yan², WANG Xue-min², CHEN Yuan-lin²

(1. Yueyang Health School of Hunan, Yueyang 414000 2. Dept. of Bio., Xiamen University, Xiamen 361005, China)

Abstract Random amplified Polymorphic DNA (RAPD) was used to analyze the genetic diversity among eri silkworm. The genetic variance of five erisilkworm was studied. The result showed that: 27 of 40 arbitrary primers could amplify clearly with repeatable bands. 243 fragments were obtained. Each primer gave 4~17 bands and the average was 9. The length of the band was 0.33~3.0kb. The genetic distance (D) value between different breeds of Eri Silkworm was 0.0683~0.1603. The D value was used to construct a dendrogram by UPGMA.

Key words eri silkworm RAPD genetic variance

蓖麻蚕(*Philosamia cynthia ricini* Boisduval)原产于印度东北部, 20世纪50年代初引入我国试养和研究, 自引种试验以来, 科学工作者根据幼虫血液、皮色和斑点作为繁殖原种蓖麻蚕的标志, 凭这些肉眼能辨认的性状进行分离、纯化, 培育出了许多蓖麻蚕品种^[1]。蓖麻蚕与家蚕及柞蚕为我国生产天然丝的三大蚕种。作为已开发利用的非桑蚕资源, 蓖麻蚕还具有一些家蚕所不及的优良经济性状: 食性广、生长快、个体大、抗逆性强等。关于蚕类的 RAPD 研究, 目前国内外多限于家蚕^[2~5], 对非桑蚕的文献报

道则较少见。本研究利用我们已建立的蚕类基因组 DNA 的 RAPD 检测技术^[6,8], 对蓖麻蚕不同品种的基因组 DNA 进行多态性分析, 以作为种质资源保存、鉴定和利用的分子生物学依据。同时也为今后寻找品种特征分子标记作前期工作。

1 材料和方法

1.1 材料

5 个品种的蓖麻蚕由中国农业科学院蚕业研究所吴冬秀研究员提供。其性状特征见表 1。

表 1 蓖麻蚕各品种的性状特性

Table 1 The varietal character of Eri silkworms

品种	品种类型	血色	茧色	幼虫斑纹
镇蓖 3	杂交越冬种	黄血	蓝皮	无斑
镇蓖 4	低温驯化种	黄血	白皮	无斑
镇蓖 6	低温驯化种	黄血	白皮	无斑
镇蓖 9	异地杂交种	黄血	白皮	有斑
镇蓖 10	引进越冬种	白血	白皮	无斑

1.2 基因组 DNA 的提取

蚕类基因组 DNA 的提取根据本实验室已建立和应用的方法^[6] 取早期蚕蛹, 在预冷的 1×SSC 中, 捣碎匀浆, 3000r/min 离心 15min, 弃上清, 用 1×SSC 反复漂洗沉淀, 去除部分蛋白质及脂肪等杂质, 直至上清液清澈。称取沉淀部分, 按 1ml/g 加提取缓冲液, 混匀后加入蛋白酶 K 至 200μg/ml, 50℃ 消化 24h 后, 加 5M 的 KAc 至终浓度为 1.3M, 冰浴 20min, 加等体积的氯仿-异戊醇(24:1)摇匀, 8000r/min 离心 20min 去蛋白。取上相, 以 2 倍体积预冷的无水乙醇沉淀 DNA, 再用 70% 乙醇洗涤并稍干后, 溶于适量的 TE 缓冲液, 再经 RNase、蛋白酶 K 处理, 酚、氯仿抽提, 异丙醇沉淀, 溶于 TE 中, -20℃ 保存。样品经紫外检测和琼脂糖凝胶电泳检测, A_{260}/A_{280} 介于 1.69~1.81 之间, 分子量在 50kb 以上。

1.3 PCR 反应

引物为美国 Operon 公司出品的试剂盒, 标号为 OPI-01 至 OPI-20 和 OPW-01 至 OPW-20 共 40 个。在 25μl 的 PCR 反应液中, 含有 1U Taq 酶(Promega), 约 5pmol 引物, 100μmol/L dNTP, 约 25ng 的基因组 DNA。反应混合物用石蜡油覆盖。PCR 反应程序 94℃ 变性 5s, 36℃ 复性 30s, 72℃ 延伸 60s, 共 40 个循环, 最后在 72℃ 延伸 5min。RAPD 产物经 1.4% 的琼脂糖凝胶电泳分离, 溴化乙锭染色后于多色荧光凝胶成像仪上成像及数据处理。

1.4 数据分析

任何两个样本之间的遗传距离(D)的计算可以通过以下公式: $D = 1 - F$ 。 F 为两个样本 RAPD 标记的共享度, 计算公式为 $F = 2N_{xy}/(N_x + N_y)$, 在此, N_{xy} 是样本 x 和样本 y PCR 扩增分子量相同的 DNA 片段总数, N_x 和 N_y 分别是样本 x 和样本 y PCR 扩增 DNA 片段的总数。根据遗传距离(D), 利用 UPGMA(unweighted pair group method with arithmetic mean)^[7]聚类分析方法构建分子系统树。

2 结果与讨论

2.1 RAPD 扩增结果

我们采用了 40 个 10bp 的随机引物进行 PCR 扩增, 对其中扩增谱带清晰、重复性较好的 27 个引物进行数据统计, 其碱基序列及扩增结果见表 2。

表 2 RAPD 引物及其 PCR 扩增情况

Table 2 The primes of RAPD and the amplification of PCR

引物	序列	RAPD	RAPD	多态百分率 (%)
		标记总数	标记可变数	
OPI01	ACCTGGACAC	9	3	33.33
OPI02	GGAGGAGAGG	10	3	30.00
OPI03	CAGAACGCCCA	7	0	0
OPI06	AAGGCAGCAG	9	3	33.33
OPI07	CAGCGACAAG	13	4	30.77
OPI09	TGGAGAGCAG	5	0	0
OPI10	ACAACGGCAG	9	4	44.44
OPI11	ACATGCCGTG	10	2	20.00
OPI13	CTGGGGCAGA	8	1	12.5
OPI14	TGACGGCGGT	11	4	36.37
OPI19	AATGCCGGAG	9	4	44.44
OPI20	AAAGTGGGGC	17	9	52.94
OPW01	CTCAGTGTCC	8	6	75.00
OPW03	GTCCGGACTG	5	4	80.00
OPW05	GGCGGATAAG	7	4	57.14
OPW06	AGCCCCGATC	11	4	36.37
OPW08	GACTGCCTCT	9	5	55.56
OPW09	GTGACCGAGT	8	4	50.00
OPW10	TCGCATCCCT	12	5	41.67
OPW11	CTGATGCCGT	10	5	50.00
OPW12	TGGGCAGAAC	14	5	35.71
OPW13	CACAGCGAGC	7	3	42.86
OPW15	ACACCGGAAC	7	1	14.29
OPW16	CAGCCTACCA	4	0	0
OPW17	GTCCTGGGTT	6	2	33.33
OPW18	TTCAGGGCAT	9	2	22.22
OPW19	CAAAGCGCTC	9	2	22.22
合计		243	89	

根据 27 个引物的扩增谱带进行分析, 27 个引物扩增谱带总数为 243 条, 每个引物的扩增所得的条带数平均为 9 条, 变动范围在 4~17 之间。这些 DNA 片段的分子量在 330bp~3000bp 之间。和我们以前的结果相比较^[6, 8, 9], 其 RAPD 图谱的重复性较好, 带型基本相符。图 1 为引物 OPW-01、OPW-08 的电泳图谱。由此表明, 在各种实验条件稳定, 采用同一 PCR 扩增仪时, 可获得重复性较好的结果。



图 1 引物 OPW - 08(1~5)、
OPW - 01(6~10) 的 RAPD 图谱
1.6 镇蓖 10; 2.7 镇蓖 9; 3.8 镇蓖 6;
4.9 镇蓖 4; 5.10 镇蓖 3;
M λDNA - EcoRI/HindIII。

Fig. 1 The RAPD pattern of
Opw - 08(1~5), OPW - 01(6~10)

2.2 品种间的遗传多态性和 UPGMA 聚类

五个品种间的遗传距离(D)见表 3。根据 D 值由 UPGMA 聚类分析软件绘制的分子进化树见图 2。

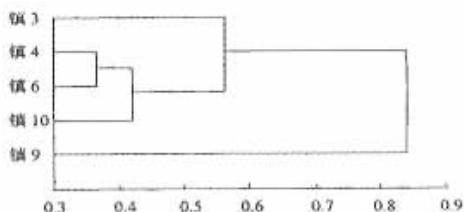


图 2 蓖麻蚕品种间聚类分子树

Fig. 2 The dendrogram by
UPGMA of Eri Silkworm

表 3 蓖麻蚕品种间的遗传距离(D)

Table 3 The genetic distance between
different breeds of Eri Silkworm

	镇蓖 3	镇蓖 4	镇蓖 6	镇蓖 9	镇蓖 10
镇蓖 3	214				
镇蓖 4	0.1046	197			
镇蓖 6	0.0726	0.0683	213		
镇蓖 9	0.1463	0.1603	0.1491	196	
镇蓖 10	0.0773	0.0730	0.0702	0.1364	200

对角线上数字为每个品种的 RAPD 扩增总带数。

蓖麻蚕五个品种间存在大量的共有片段, 它们之间 D 值均很小, 在 0.0683 ~ 0.1603 之间。考虑到蓖麻蚕原产于印度, 1951 年和引入我国, 它的地域隔离和分化只有四十几年, 本文所用的品种又同来源于镇江, 其遗传分化甚小应是合理的。这五个品种又以镇蓖 9 与其它品种的遗传分化稍大(见图 2), 这也和它们的表型性状相吻合。

参考文献(References):

- [1] 张果. 蓖麻蚕种选育 [M]. 北京 科学出版社, 1959, 3.
- [2] 翁宏燧, 徐孟奎, 张耀洲. 家蚕的 RAPD 及其品种(系)间差异. [J]. 浙江农业大学学报, 1996, 22(2): 152 ~ 156.
- [3] 夏庆友, 等. 家蚕 RAPD 的扩增条件、重复性及遗传模型研究. [J]. 蚕业科学, 1996, 22(1): 20 ~ 25.
- [4] 夏庆友, 周泽汤, 等. 家蚕 $Y\text{-}N1$ 基因和 Z 染色体的 RAPD 分子标记研究 [J]. 西南农业大学学报, 1996, 18(2): 114 ~ 118.
- [5] 夏庆友, 周泽汤, 鲁成, 等. 家蚕不同地理品种(系)分子系统学研究 [J]. 昆虫学报, 1998, 41(1): 32 ~ 40.
- [6] 刘春宇, 陈元霖, 桂慕燕, 等. 家蚕与蓖麻蚕杂交后代变异机制探讨——基因组 RAPD 检测 [J]. 遗传, 1998, 20(2): 5 ~ 8.
- [7] Sneath P H A, et al. Numerical Taxonomy [M]. San Francisco, 1973.
- [8] 张春玲, 陈元霖, 桂慕燕, 等. 蓖麻蚕 DNA 导入引起家蚕遗传变异的研究——基因组 DNA 的 RAPD 检测 [J]. 遗传, 1998, 20(3): 1 ~ 4.
- [9] 桂慕燕, 左正宏, 陈元霖. 五种绢丝昆虫随机扩增多态性 DNA 分析 [J]. 遗传, 2001, 23(1): 25 ~ 28.